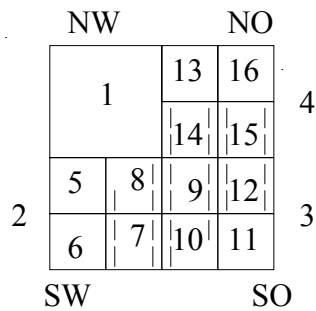


Kap.9 Quad – Trees

Kap. 9.1 Region Quad - Trees

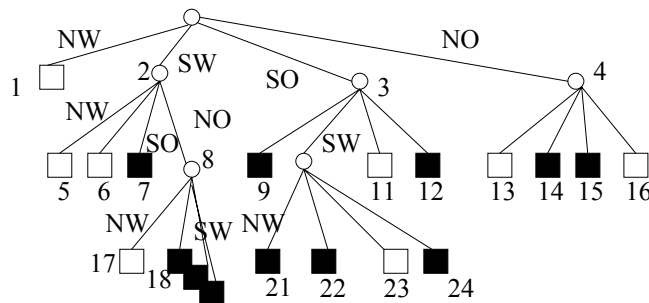
Darstellung von gerasterten Flächen mit Eigenschaften pro Flächenpunkt, z.B. Farbe, Höhe,... Pixel-Wert = {0,1} für s/w
Pixel = **P**icture **E**lement

Idee: Rekursive Flächenzerlegung in Teilflächen mit konstanten Pixelwerten



Ziel: Komprimierte Darstellung u. leichte Manipulation

1



Hinw.: Quad-Tree für Pixelbild eindeutig.

Baumhöhe ~ \log_2 von Auflösung, z.B. bei Bildschirm 1000 x 1000 ≈ 10

Überlegung: geeignet für Darstellung von Schrift auf Bildschirm?

Algorithmen:

Farbestimmung: i.a. Pixeleigenschaft

Ist Pixel [3,5] schwarz oder weiß?

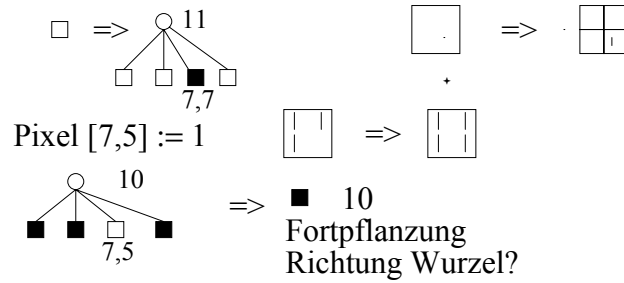
1. [3,5] liegt in NO = 4

2. [3,5] in 4 in SW = ■

\Rightarrow Pixel [3,5] = schwarz

2

Update: Pixel [7,7] := 1



Wichtig: lokale Bildänderung ~
lokale Trafos in Quad-Tree
längs 1 Pfad

3

Bild zeigen: paint (QT)

```
if QT = schw. Knoten then alle Pixel schwarz
else if QT = weißer Knoten then alle Pixel weiß
else [ {Wurzelknoten von QT ist grau}
      paint ( QT. NW); paint (QT. SW);
      ] paint (QT. SO); paint (QT. NO)
```

4

Randbestimmung: Finde größeren westlichen Nachbarn von x , z.B. $x = 21$:

Pfad zu ■ 21 von Wurzel aus:

SO	Alg: Pfad zu 21 kellern, zurück zu letzter Ost-Abzweig., nach Westen, dann immer nach Osten	SW
SW		SO ■ 7
NW		NO
■ 21		

Keller

■ 7 größer als ■ 21 weil Pfad kürzer, aber gleich gefärbt, Zwischenkante, i.R. westliche Grenze von 21 gehört nicht zum Rand

westlicher Nachbar von 18:

SW	SW	
NO	NW	□ 5
SW	SO	
■ 18		□ 5 > ■ 18, unterschiedlich gefärbt

=> westl.Kante von ■ 18 im Rand

5

Falls gesuchter Nachbar echt kleiner, keine Entscheidung, entscheide vom kleineren Nachbarn aus gesehen.

Bei gleichgroßen Nachbarn: Zwischenkante erscheint zweimal im Rand, nicht schädlich!

Alg. für Rand:

\forall Blätter X
 bestimme alle 4 Nachbarn Y
if $Y \geq X$ u. Farbe verschieden
then Kante von X zu Y gehört
 zum Rand zwischen weißem
 u. schwarzem Gebiet.

Alg. für Rand und Gebiet mit Farbe f :

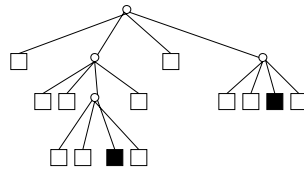
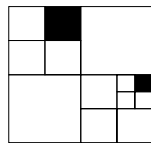
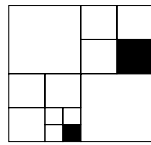
\forall Blätter X mit Farbe f
 \vdots
 wie oben

6

Weitere Algorithmen

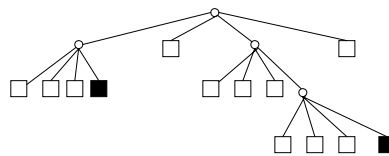
Bild Drehungen um 90°

~ Kante $+1 \pmod 4$
i.e. Umnnummerierung der Kanten



Dreh-Alg:
1. Verschieben
2. Drehen, i.e. rek.
Aufruf f. Unterbaum

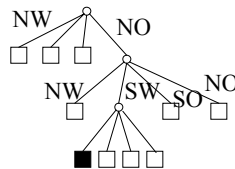
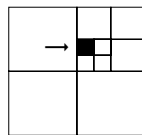
nicht konstruieren
sondern
Kantendrehung
mitrechnen



Hinw: geht, weil Blätter gegen
Drehung invariant sind.

7

Raster-Display: zeilenweise



Auffinden von östlichen Nachbarn:

1. Zurück zu westlicher Kante
2. Einmal östlich gehen : $NW \rightarrow NO$
 $SW \rightarrow SO$
3. nur westliche Zweige verfolgen:
ob SW oder NW aus
Zeilenzahl berechnen

Auffinden von südlichen Nachbarn:

0. Knoten am linken Rand merken
1. Zurück zu nördlicher Kante
2. einmal südlich gehen
3. allen NW-Zweigen folgen: i.e. südl.
Nachbar am weitesten westlich

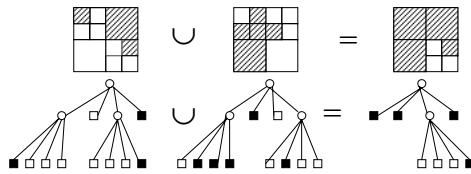
8

Zoom: auf einen Quadranten:
 paint (QT.NW), ... , paint (QT.NO)

Mengen Operationen: \cup, \cap
 dunkel dominiert bei \cup ,
 entsprechende Knoten rekursiv
 vergleichen:

$s \cup x = s$ x beliebig
 $w \cup x = x$
 $g \cup s = s$
 $g \cup w = g$
 $g \cup g = \begin{cases} s & \text{wenn nach } \cup \text{ alle Söhne } s \\ g & \text{sonst} \end{cases}$

Beispiel

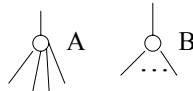


Verallg. auf beliebige Farbmischungen?

blau \cup gelb = grün

⋮

Alg. für Union:



Union (A,B) :

if black (A) **or** black (B) **then** black node

else if white (A) **then** B

else if white (B) **then** A

else \lceil U := Union (NW (A), NW (B));

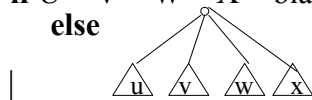
 V := Union (SW (A), SW (B));

 W := Union (SO (A), SO (B));

 X := Union (NO (A), NO (B));

if U = V = W = X = black **then** black node

else

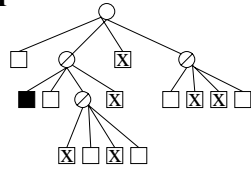


Alg. für \cap und Differenz analoge rekursive Struktur.

Übung: Flächenberechnung!

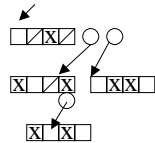
Speicherdarstellung für Quad-Trees

Beispiel:



weiß ~ 00
 schwarz ~ 11
 grau ~ 01
 illegal 10

16 Zeiger



4 Zeiger

i.e. Reduktion
 auf $\frac{1}{4}$

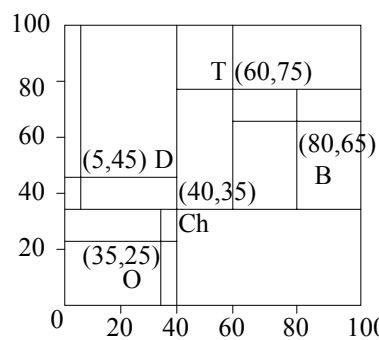
$$\text{allg: Anz.Zeiger} = \frac{\text{Anz.Knoten} - 1}{4}$$

$$\text{Farbinfo} = \frac{\text{Anz.Knoten} - 1}{4} \text{ Bytes}$$

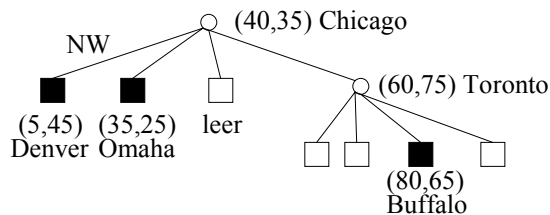
11

Kap. 9.2 Point Quad-Tree:

Suche mit Koordinaten,
 Partionierungspunkt mit Koord.



(40,35) Chicago
 (5,45) Denver
 (35,25) Omaha
 (60,75) Toronto
 (80,65) Buffalo

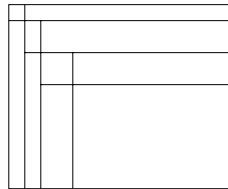


12

Suche mit vorgegebenen Ortskoordinaten.
 Intervall-Suche mit vorgeg. Längen- u.
 Breitenintervallen

Hinweis: Struktur des Baumes u.
 Qualität (Balanzierung) hängt von
 Reihenfolge der Einfügung ab.
 Heuristik: Wähle Partitionierungspunkt
 so, daß jeder Quadrant möglichst
 gleichviel Punkte enthält.

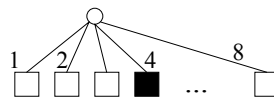
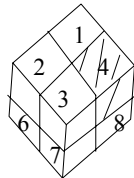
Problem:



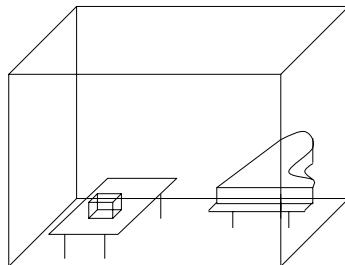
13

Kap. 9.3 Oct-Trees

für 3-dim. Daten : unterteile Raum in Würfel



z.B. Raum mit Objekten:

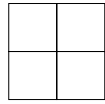


Robotik:
 Planung

Aufgaben: Drehungen, Begrenzungs-
 flächen, Vereinigung etc. analog
 zu 2-dim. Raum

14

Kap. 9.4 k-d-Bäume

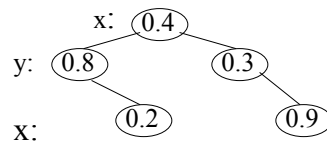


Quad-Tree:
Partitionierung
bzgl. aller Dim.

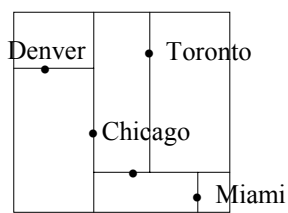
nur Blätter sind
informations-
tragend



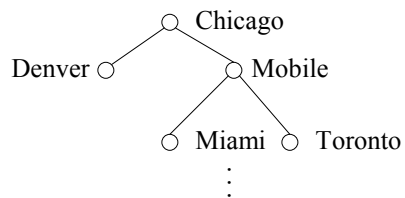
k-d-Tree:
Partitionierung
bzgl. 1 Dimension,
zyklisch alle Dim.



15



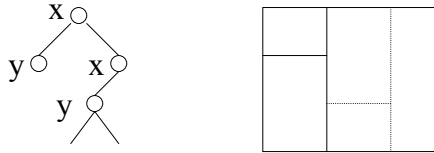
alterierende Dimension



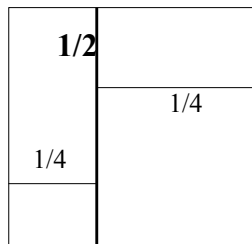
16

Adaptiver k-d-Baum

Zu spaltende Dimension an jedem Knoten frei wählbar, Angabe im Knoten



Balanzierte k-d-Bäume: statisch einfach, dynamisch schwierig



Spalte so, daß Anzahl der Elemente pro Bereich halbiert wird, einfacher als bei Point-Quad-Tree!

Dynamische Balanzierung bei insert/delete Folgen?

17

Kap. 9.5 dd-Bäume

Mehlhorn, Vol.3, S.26 ff.

Suche in d-dimensionalen Räumen

Def: U_i : geordnete Menge, $1 \leq i \leq d$

$$U = U_1 \times U_2 \times \dots \times U_d$$

Punkt $x = (x_1, \dots, x_d) \in U$

Record, Tupel

x_i : Koordinate, Attribut

Standardfall bei DBSen

Gegeben: $S \subseteq U$; S = Menge von Punkten,
Relation, Tabelle,
Datenbank

Anfragen: $R \in \Gamma \subseteq 2^U$

Problem: Berechne $R \cap S$ bzw.
zähle $|R \cap S|$

R heißt "region-query"

"Bereichs-Anfrage"

18

Spezialfälle für R:

a) orthogonale Range-Queries

Intervall-Anfrage : $R = \{x : l \leq x \leq h\}$
im 1.dim. Fall

$\Gamma_{OR} = \{R : R = [l_1:h_1] \times [l_2:h_2] \times \dots \times [l_d:h_d]\}$
mit $l_i, h_i \in U_i$ und $l_i \leq h_i$

19

b) partial Match-Queries

einige Attribute sind Konstante,
andere unspezifiziert:

$l_i = h_i$ oder $[l_i : h_i] = U_i$

$R \equiv a_{i_1} = c_1 \wedge a_{i_2} = c_2 \wedge \dots \wedge a_{i_k} = c_k$

Siehe auch: Vektorraum - Modell
beim Information - Retrieval

$\Gamma_{PM} = \{R : R = [l_i:h_i] \times \dots \times [l_d:h_d]\}$

mit $l_i, h_i \in U_i$ und

$l_i = h_i$ oder $l_i = -\infty$ und $h_i = +\infty$

c) exact Match-Queries

$\Gamma_{EM} = \{R : R = \{x\}$ und $x \in U\}$

d.h. alle Attr. als Konstante spezifiziert

Antwort nur **ja** oder **nein**

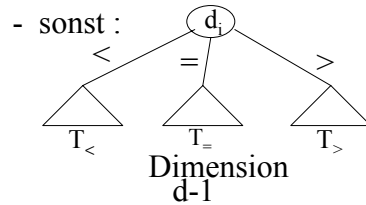
DB-Anwendungen : Γ_{OR} oder Γ_{PM}

mit vorher bekannten suchbaren Attributen.

20

Def: dd-Baum: d = Dimensionalität, n = DB-Größe

- $d = n = 1$: (x)



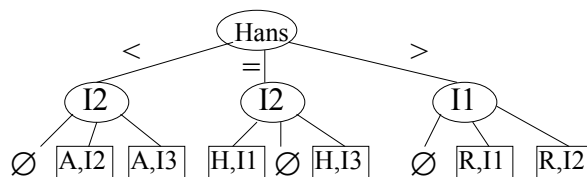
$S_{<} = \{x : x_i < d_i\}$ $S_{=} = \{x : x_i = d_i\}$ $S_{>} = \{x : x_i > d_i\}$

i.e. Partitionierung von S bzgl. d_i

21

Beispiel: Angelika, Hans, Richard } 2 Dimensionen mit
I1, I2, I3 } möglichen Werten

$S = \{ (A,I2), (A,I3), (H, I1), (H,I3), (R,I1), (R,I2) \}$



andere Wahl der Spaltwerte ?

22

Def: Ideale dd-Bäume:

Wähle d_i so, daß $T_{<}$ und $T_{>}$ höchstens

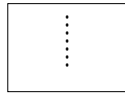
$\frac{1}{2} n$ Elemente haben,

keine Garantie für $T_{=}$, aber

$T_{=}$ hat kleinere Dimension, keine weitere

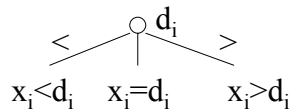
Partitionierung bzgl. i -ter Dim.

Beispiel:



23

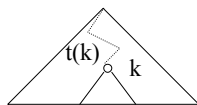
Exact Match Anfrage:



x_1, x_2, \dots, x_d

verfolge Kante
entsprechend:

Def:



$t(k)$: Tiefe von Knoten k

$= 1 + \text{Pfadlänge zu } k$

$st(k)$: Anzahl von

$<$ - bzw $>$ - Kanten zu k

Lemma: Sei T idealer dd-Baum für

Menge S mit $|S| = n$

a) $st(k) \leq ld n$ für alle k

b) $t(k) \leq d + ld n$ für alle k

24

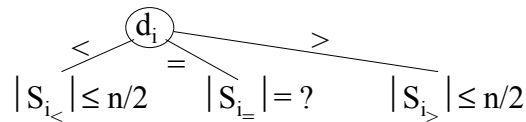
Konstruktion von dd-Bäumen

in Zeit $O(n \cdot (d + \log n))$ für S mit $|S| = n$

für Spaltung bzgl. i -ter Dimension:

$S_i = \{x_i : (x_1, x_2, \dots, x_i, \dots, x_d) \in S\}$
als Multiset

bestimme mittleres Element d_i von S_i in Zeit $O(|S_i|) = n$



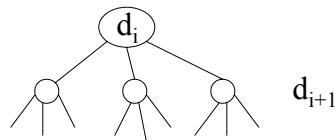
jetzt rekursive Fortsetzung: spalte
bzgl. Dim. $i+1, i+2, \dots$

Kosten: Auf jeder Baumebene
Median-Bestimmung bzgl. ganz S in $O(|S|)$;
Baumhöhe $\leq d + \log n$

Gesamtkosten: $O(n \cdot (d + \log n))$

25

Partial Match Anfragen:



- falls i -tes Attribut in Anfrage spezifiziert ist, verfolge 1 Pfad
 - sonst verfolge 3 Pfade
- \Rightarrow depth-first Suche durch Baum
bis zu Blättern

Detaillierte Kostenanalyse: für Suchaufwand,
siehe Mehlhorn, Bd 3, S. 30ff

$O(n^\epsilon)$ für $0 < \epsilon < 1$

abhängig von Detaillierung der Anfrage
 $\epsilon = 1$ falls völlig unspezifiziert

26

Exact Match Anfragen:

genau 1 Pfad durch Baum

Range Queries:

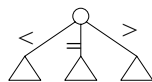


- $d_i < l_i$: verfolge $>$ - Kante
- $d_i = l_i$: verfolge $=$ - und $>$ - Kante
- $l_i < d_i < h_i$: " 3 Kanten
- $d_i = h_i$: " $<$ - und $=$ - Kante
- $d_i > h_i$: " $<$ - Kante

27

Kap. 9.6 Median-Bestimmung

siehe Kap. 8.5 dd-Bäume



Satz: $P(n)$ sei ein Algorithmus für Problem P der Größe n
 $R(n)$ sei ein Alg. zur Reduktion von $P(n)$ auf ein kleineres
Problem $\alpha \cdot n$ mit $\alpha < 1$
 $P(n)$ habe die Struktur $P(n) \equiv P(R(n))$

$P(n)$ habe Kostenfunktion $p(n)$ bzgl. Zeit, Speicher
 $R(n)$ " " $r(n)$

Falls R lineare Komplexität hat, dann
hat auch P lineare Komplexität

(Spezialfall des Master-Theorems der
Komplexitätstheorie)

28

Bew: $r(n) \leq c \cdot n$

$$\begin{aligned} p(n) &= r(n) + p(\alpha \cdot n) \\ &= r(n) + r(\alpha \cdot n) + p(\alpha^2 n) \\ &= r(n) + r(\alpha \cdot n) + \dots + r(\alpha^i \cdot n) + n \cdot c_0 \\ &\leq c \cdot n + c \alpha n + \dots + c \alpha^i n + n \cdot c_0 \\ &= c \cdot n \left(1 + \alpha + \dots + \alpha^i + \frac{c_0}{c} \right) \end{aligned}$$

Hinweis: i hängt von n ab, kann beliebig groß werden.

$$\begin{aligned} &\leq n \cdot c \left[\frac{1}{1-\alpha} + \frac{c_0}{c} \right] \\ &= n \cdot c_p \\ \Rightarrow p(n) &\leq n \cdot c_p \quad \checkmark \end{aligned}$$

29

Variante: Zerlegung in mehrere Teilprobleme:

$M = \{M_1, M_2, \dots, M_k\}$; M_i, M_j disjunkt,

d.h. unabhängig voneinander lösbar.

Größen:

m m_1 m_2 ... m_k mit:

$$\sum_{i=1}^k m_i \leq \alpha m \quad \text{und} \quad \alpha < 1$$

30

Zerlegung koste $c \cdot m$,
 nächste kostet $\leq c \cdot \alpha m$ etc.,
 \Rightarrow alle Zerlegungen kosten
 $\leq c \cdot m (1 + \alpha + \alpha^2 + \dots + \alpha^i)$
 wobei i abhängig von m , aber
 $\leq c \cdot m \sum_{i=0}^{\infty} \alpha^i = cm \frac{1}{1-\alpha}$
 $= m \frac{c}{1-\alpha}$

abschließende Bearbeitung pro Element von M : $m \cdot d$

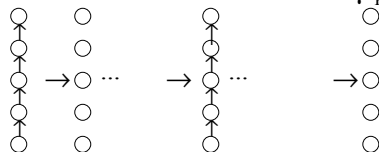
\Rightarrow Gesamtkosten: $m \cdot \left[\frac{c}{1-\alpha} + d \right]$
 $= O(m) \Rightarrow$ linearer Alg.

Hinw: Reihenfolge von Zerlegungen u. Bearbeitung von Teilproblemen unwichtig.

31

Median-Alg: Auswahl (M, l) : finde l -kleinstes Element von M
 Menge $M = \{e_1, e_2, \dots, e_m\}$

1. Sortiere k aufeinanderfolgende Elemente,
 k ungerade $\wedge k > 1$
2. M_k sei Menge der mittleren Elemente,
3. bestimme mittleres El. μ_k von M_k



Problemgröße $\lceil \frac{m}{k} \rceil$

4. Zerlege M in 3 Teilmengen:

$$M_{<}^k := \{e_i : e_i \in M \wedge e_i < \mu_k\}$$

$$M_{>}^k := \{e_i : e_i \in M \wedge e_i > \mu_k\}$$

$$M_{=}^k := \{\mu_k\}$$

32

5. Sei $|M_{<}^k| = j$
if $1 \leq j$ **then** bestimme l -kleinstes Element
von $M_{<}^k$: Auswahl ($M_{>}^k, l$)
else if $l = j+1$ **then** μ_k
else bestimme $l - (j + 1)$ - kleinstes Element von $M_{>}^k$:
Auswahl ($M_{>}^k, l-(j+1)$)

Ursprünglicher Aufruf für Median-Bestimmung:
Auswahl $\left[M, \left\lceil \frac{m}{2} \right\rceil \right]$

bzw: $\left\lfloor \frac{m}{2} \right\rfloor$

auf 2 Subprobleme M^k bzw. $M_{<}^k, M_{>}^k$

33

Analyse:

Schritte 1., 2., 4. sind Reduktionsschritte
auf Suchprobleme M_k bzw. $M_{<}^k, M_{>}^k$

Schritt 3: Größe von Problem

$$|M_k| = \left\lceil \frac{m}{k} \right\rceil$$

Schritt 5: Größe von Problem $M_{<}^k$:

$$|M_{<}^k| \geq \frac{m}{k} \cdot \frac{1}{2} \cdot \frac{k+1}{2} = \frac{m}{4} \cdot \frac{k+1}{k}$$

$$|M_{>}^k| \geq \dots$$

bis auf $\lceil \cdot \rceil$ bzw. $\lfloor \cdot \rfloor$, i.e. $+ k+1$

$$|M_{<}^k| = m - |M_{>}^k| \leq m - \frac{m}{4} \cdot \frac{k+1}{k} = \frac{m}{4k} (3k-1)$$

34

Gesamtgröße der Subprobleme

$$\begin{aligned} & < & > \\ & |M^k| + |M^k| \text{ bzw. } |M^k| + |M^k| \\ & \leq \left\lceil \frac{m}{k} \right\rceil + \frac{m}{4k} (3k-1) \leq \frac{m}{k} + 1 + \frac{m}{4k} (3k-1) \\ & = m \left[\frac{1}{k} + \frac{1}{m} + \frac{3k-1}{4k} \right] = m \underbrace{\left[\frac{3}{4} \cdot \frac{k+1}{k} + \frac{1}{m} \right]}_{c(k)} \end{aligned}$$

35

$$c(3) = 1 + \frac{1}{m} > 1$$

$$c(5) = \frac{3}{4} \cdot \frac{6}{5} + \frac{1}{m} = \frac{18}{20} + \frac{1}{m} = \frac{9}{10} + \frac{1}{m} < 1 \text{ für } m > 10$$

$$c(7) = \frac{3}{4} \cdot \frac{8}{7} + \frac{1}{m} = \frac{6}{7} + \frac{1}{m} < 1 \text{ für } m > 7$$

=> für große k : $c(k) \rightarrow \frac{3}{4}$,
d.h. Kosten für Lösung von M^k
werden unwesentlich.

Warum nicht für Quicksort?

$O(n \log n)$ Garantie für Quicksort?

36